1 Метеорологические условия

1.1 Синоптический обзор

Кинематические карты, приведенные на рис. 1-1−1-2, отражают траектории циклонов (синий цвет) и антициклонов (красный цвет) в течение месяца. Положение центров приведено за срок 00 ВСВ каждых суток. За барическими объектами закреплен номер, по которому из ниже следующей таблицы можно определить координаты и давление в центре объектов в срок 00 ВСВ каждых суток.

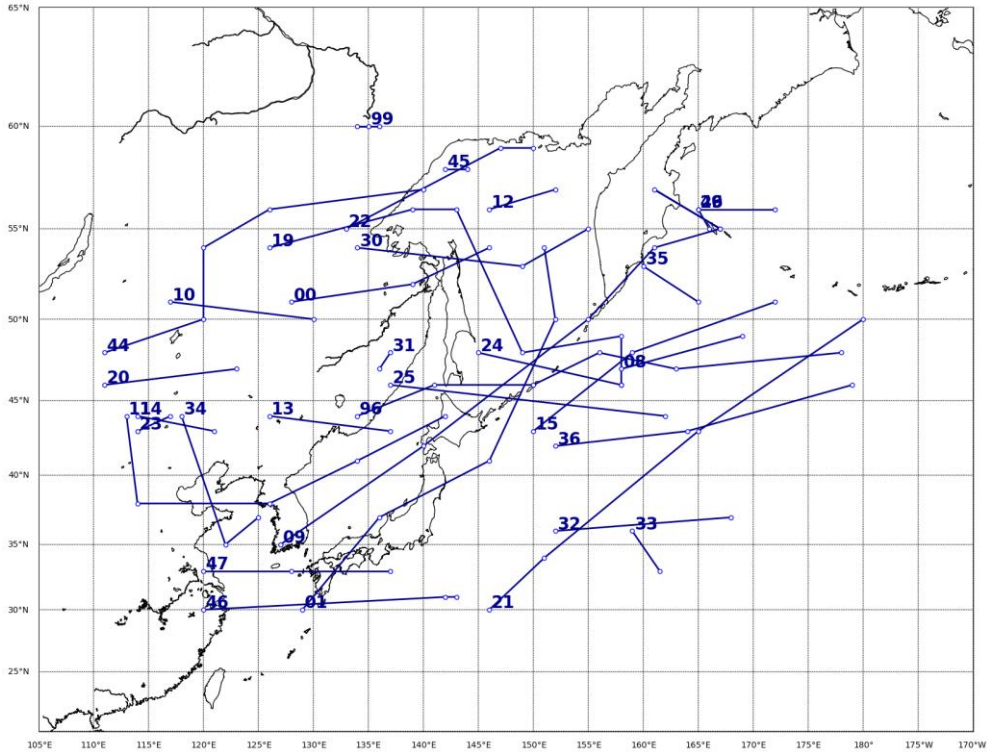


Рис. 1-1 Траектории движения циклонов в мае 2026 г.

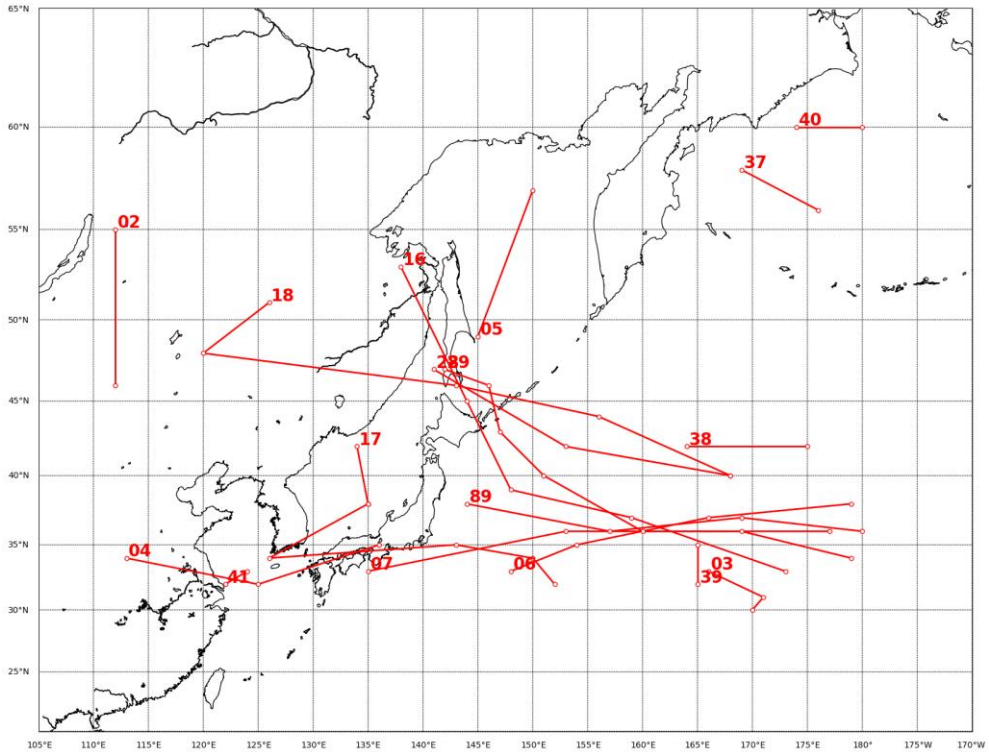


Рис. 1-1 Траектории движения антициклонов в мае 2026 г.

Координаты центров циклонов и антициклонов и давление в их центрах в мае (в срок 00 ВСВ)									
Циклоны					Антициклоны				
Номер	Дата	Широта	Долгота	Давление	Номер	Дата	Широта	Долгота	Давление
96	26.04.2026	44	134	1010	89	30.04.2026	38	144	1022
96	27.04.2026	46	141	1010	89	01.05.2026	36	157	1026
96	28.04.2026	46	150	1000	89	02.05.2026	37	169	1030
96	29.04.2026	48	156	994	89	03.05.2026	36	180	1030
96	30.04.2026	47	163	996	2	02.05.2026	55	112	1020
96	01.05.2026	48	178	992	2	03.05.2026	46	112	1010
99	30.04.2026	60	135	1006	3	04.05.2026	33	166	1026
99	01.05.2026	60	134	1006	3	05.05.2026	31	171	1026
99	02.05.2026	60	136	1004	3	06.05.2026	30	170	1026
0	30.04.2026	51	128	998	4	08.05.2026	34	113	1022
0	01.05.2026	52	139	998	4	09.05.2026	32	125	1022
0	02.05.2026	54	146	1000	4	10.05.2026	35	136	1022
1	30.04.2026	30	129	1008	5	08.05.2026	49	145	1010
1	01.05.2026	37	136	998	5	09.05.2026	57	150	1010
1	02.05.2026	41	146	980	6	10.05.2026	33	148	1022
1	03.05.2026	50	152	978	6	11.05.2026	35	154	1022
1	04.05.2026	54	151	996	6	12.05.2026	37	166	1024
8	03.05.2026	47	158	978	6	13.05.2026	38	179	1028
8	04.05.2026	49	169	990	7	05.05.2026	33	135	1022
9	03.05.2026	35	127	1002	7	06.05.2026	36	153	1028
9	04.05.2026	42	140	990	7	07.05.2026	36	169	1028

Координаты центров циклонов и антициклонов и давление в их центрах в мае (в срок 00 ВСВ)									
Циклоны					Антициклоны				
Номер	Дата	Широта	Долгота	Давление	Номер	Дата	Широта	Долгота	Давление
9	05.05.2026	50	155	980	7	08.05.2026	34	179	1028
9	06.05.2026	54	161	986	16	13.05.2026	53	138	1016
9	07.05.2026	55	167	994	16	14.05.2026	45	144	1018
9	08.05.2026	57	161	1002	16	15.05.2026	39	148	1024
9	09.05.2026	55	167	1008	16	16.05.2026	37	159	1028
10	04.05.2026	51	117	998	16	17.05.2026	33	173	1024
10	05.05.2026	50	130	990	17	14.05.2026	42	134	1018
11	05.05.2026	44	113	996	17	15.05.2026	38	135	1024
11	06.05.2026	38	114	1002	17	16.05.2026	38	135	1024
11	07.05.2026	38	126	1010	17	17.05.2026	34	126	1020
11	08.05.2026	41	134	1002	17	18.05.2026	35	143	1022
11	09.05.2026	44	142	998	17	19.05.2026	34	150	1020
12	05.05.2026	56	146	992	17	20.05.2026	32	152	1020
12	06.05.2026	57	152	986	18	15.05.2026	51	126	1024
13	06.05.2026	44	126	1008	18	16.05.2026	48	120	1026
13	07.05.2026	43	137	1008	18	17.05.2026	46	143	1022
14	09.05.2026	44	114	1000	18	18.05.2026	44	156	1022
14	10.05.2026	43	121	1006	18	19.05.2026	40	168	1020
15	09.05.2026	43	150	990	28	19.05.2026	47	141	1016
15	10.05.2026	48	159	974	28	20.05.2026	42	153	1020
15	11.05.2026	51	172	978	28	21.05.2026	40	168	1022
19	10.05.2026	54	126	996	29	21.05.2026	47	142	1016
19	11.05.2026	56	139	990	29	22.05.2026	46	146	1020
19	12.05.2026	56	143	996	29	23.05.2026	43	147	1024
19	13.05.2026	48	149	1002	29	24.05.2026	40	151	1026
19	14.05.2026	49	158	1002	29	25.05.2026	36	160	1024
19	15.05.2026	46	158	1012	29	26.05.2026	36	177	1028
20	13.05.2026	46	111	994	37	23.05.2026	58	169	1010
20	14.05.2026	47	123	1004	37	24.05.2026	56	176	1016
21	12.05.2026	30	146	1010	38	26.05.2026	42	164	1028
21	13.05.2026	34	151	1000	38	27.05.2026	42	175	1036
21	14.05.2026	43	165	984	39	27.05.2026	32	165	1016
21	15.05.2026	50	180	982	39	28.05.2026	35	165	1016
22	14.05.2026	55	133	1000	40	30.05.2026	60	174	1022
22	15.05.2026	59	147	984	40	31.05.2026	60	180	1026
22	16.05.2026	59	150	998	41	30.05.2026	32	122	1014
23	14.05.2026	43	114	1002	41	31.05.2026	33	124	1014
23	15.05.2026	44	117	1010					
24	15.05.2026	48	145	1012					
24	16.05.2026	46	158	1018					
25	16.05.2026	46	137	1014					
25	17.05.2026	44	162	1014					

Координаты центров циклонов и антициклонов и давление в их центрах в мае (в срок 00 ВСВ)									
Циклоны					Антициклоны				
Номер	Дата	Широта	Долгота	Давление	Номер	Дата	Широта	Долгота	Давление
26	16.05.2026	56	165	1002					
26	17.05.2026	55	166	994					
30	17.05.2026	54	134	1010					
30	18.05.2026	53	149	1006					
30	19.05.2026	55	155	998					
31	17.05.2026	48	137	1002					
31	18.05.2026	47	136	1008					
32	17.05.2026	36	152	1014					
32	18.05.2026	37	168	1012					
33	18.05.2026	36	159	1012					
33	19.05.2026	33	161	1016					
34	19.05.2026	44	118	1004					
34	20.05.2026	35	122	1002					
34	21.05.2026	37	125	1004					
35	19.05.2026	53	160	996					
35	20.05.2026	51	165	990					
36	21.05.2026	42	152	1008					
36	22.05.2026	43	164	1006					
36	23.05.2026	46	179	1000					
44	22.05.2026	48	111	992					
44	23.05.2026	50	120	992					
44	24.05.2026	54	120	998					
44	25.05.2026	56	126	992					
44	26.05.2026	57	140	998					
45	27.05.2026	58	142	1000					
45	28.05.2026	58	144	1004					
46	24.05.2026	30	120	1010					
46	25.05.2026	31	142	1008					
46	26.05.2026	31	143	1010					
47	26.05.2026	33	120	998					
47	27.05.2026	33	128	1000					
47	28.05.2026	33	137	1002					
49	28.05.2026	56	165	1008					
49	29.05.2026	56	172	1008					

I декада мая 2026 г.

Японское море

1 мая над югом акватории проследовал развивающийся циклон. Давление в его центре понижалось от 1000 гПа до 990 гПа. В конце суток он перевалил через о. Хонсю, вышел на акваторию Тихого океана, продолжая углубляться. В Японском море ветер усиливался до 9−14 м/с, волнение – до 2 м.

2 мая над морем установилось поле высокого давления, а 3 числа на юго-запад акватории вышел следующий циклон с давлением в центре 1002 гПа. Циклон двигался в северо-восточном направлении со скоростью 50 км/ч, углублялся. 4 мая через о. Хоккайдо с давлением в центре 990 гПа он переместился в Тихий океан, в район южных Курил. Скорость ветра на акватории моря возрастала до 12−17 м/с, волнение развивалось до 2−3 м.

5 мая свежие ветры до 12−17 м/с и волнение до 2−3 м на акватории моря сохранялись, но обуславливались уже другими барическими объектами: циклоном, который развивался над нижним течением Амура, и антициклоном, который перемещался над о. Хонсю.

8 мая в ложбине, которая переместилась с северо-восточного Китая, образовался циклон с давлением в центре 1002 гПа. Циклон перемещался над центральной частью моря на восток, северо-восток со скоростью 40 км/ч, незначительно углублялся. 9 числа с давлением в центре 998 гПа он через о. Хоккайдо перевалил в Тихий океан. В тылу циклона наблюдались усиление ветра до 9−14 м/с, волнение до 2−3 м.

В конце декады установилось поле повышенного давления; антициклон с давлением в центре 1020 гПа проследовал над о. Хонсю.

Охотское море

1 мая с Хабаровского края в район северного Сахалина вышел циклон с давлением в центре 1000 гПа. Без развития он медленно двигался на восток, не вызывая значительного усиления ветра и волн; 2 числа заполнился, располагаясь над севером акватории.

2 мая вдоль Курильской гряды перемещался развивающийся циклон. В конце суток, располагаясь над северной частью гряды, он достиг максимального развития − глубины 976 гПа. 3 числа в стадии высокого малоподвижного образования циклон вышел на акваторию Охотского моря. В дальнейшем он медленно двигался на север, заполнялся; 5 мая окончательно заполнился вблизи северного побережья. Циклон вызвал усиление ветра до 18−23 м/с, волнение до 3−4 м, вблизи северных Курил – до 5 м.

4 числа на южные Курилы вышел следующий циклон с давлением в центре 980 гПа. Углубляясь, двигался на северо-восток со скоростью 50 км/ч. 5 мая он вышел на акваторию Охотского моря с давлением в центре 978 гПа. В дальнейшем, замедляя движение, перемещался на север, северо-запад вблизи западного побережья Камчатки, начал заполняться. Прослеживался над севером акватории до 7 числа. 5 мая в зоне действия циклона ветер был сильный до 15−20 м/с, волнение – до 2−3 м.

8 мая на юг моря с Хабаровского края вышел антициклон с давлением в центре 1010 гПа. Без существенного развития он двигался на восток, северо-восток со скоростью 30−40 км/ч. 9 числа разрушился вблизи северо-западного побережья Камчатки.

В конце декады, 9−10 мая, с тихоокеанской стороны вдоль Курильской гряды перемещался циклон с давлением в центре 972−984 гПа. В Охотском море вблизи Курильских островов наблюдалось усиление ветра до 15−20 м/с, волнение развивалось до 2−3 м.

Берингово море

В начале декады на западе Берингова моря установился гребень тихоокеанского антициклона; на востоке акватории погодные условия определялись малоподвижной многоцентровой депрессией, с глубиной центров 984−988 гПа. Между этими объектами над центральной частью акватории ветер был свежий до 10−14 м/с, волнение – до 2,0−2,5 м.

3 мая гребень переместился на восточную часть моря, здесь образовалось малоподвижное ядро с давлением в центре 1022 гПа. Ядро оставалось над восточной частью моря до 7 числа, 8 мая втянулось в циркуляцию антициклона, развивающегося над Чукотским морем. Максимальное давление в ядре − 1024 гПа.

На западе акватории ухудшение погоды наблюдалось 4 мая, что обуславливал тихоокеанский циклон, проследовавший вблизи Алеутской гряды. Ещё один циклон с давлением в центре 982−986 гПа 5 мая развивался вблизи юго-восточного побережья Камчатки; 6 мая он вышел на Командорские острова с давлением в центре 990 гПа, в дальнейшем оставался малоподвижным, заполнялся. Скорость ветра на акватории Берингова моря в зоне действия циклонов достигала 15−20 м/с, волнение развивалось до 3−4 м.

Северо-западная часть Тихого океана

Антициклон, который вышел в северо-западную часть Тихого океана в конце апреля, продолжал перемещаться на восток со скоростью 40 км/ч, 3 мая по 35 параллели переместился в западное полушарие с давлением в центре 1028 гПа.

2 числа с Японского моря в северо-западную часть Тихого океана переместился циклон с давлением 980 гПа. Двигаясь вдоль Курильской гряды со скоростью 50−60 км/ч, он углублялся, 3 мая вышел в Охотское море с давлением в центре 978 гПа. При окклюдировании над акваторией Тихого океана образовался ещё один циклон тоже с давлением в центре 978 гПа. Последний начал двигаться на северо-восток со скоростью 40−50 км/ч, заполнялся. 5 мая с давлением в центре 1000 гПа он покинул восточное полушарие по 48-й параллели. Ветер в зоне действия циклонов усиливался до 18−23 м/с, волнение развивалось до 6−7 м.

4 мая еще один развивающийся циклон с давлением в центре 990 гПа вышел с Японского моря на акваторию района, двигался по аналогичной траектории вдоль Курильской гряды, 5 числа через северные Курилы переместился в Охотское море с давлением в центре 984 гПа. Скорость ветра в зоне циклона возрастала до 15−20 м/с, волнение развивалось до 3−4 м.

5 числа со стороны о. Хонсю на акваторию района вышло ядро с давлением в центре 1022 гПа. Усиливаясь, оно двигалось на восток, северо-восток со скоростью 50 км/ч, 8 мая по 38-й параллели переместилось в западное полушарие с давлением в центре 1028 гПа.

8 мая восточнее Японии над акваторией северо-западной части Тихого океана образовался циклон с давлением в центре 1000 гПа. Он двигался на северо-восток со скоростью 50 км/ч, углублялся, 10 числа подошёл к западной части Алеутской гряды с давлением в центре 978 гПа. Минимальное давлением в его центре − 972 гПа – отмечалось 9 мая. Скорость ветра в зоне циклона возрастала до 17−22 м/с, волнение – до 4−5 м.

II декада мая 2026 г.

Японское море

Во второй декаде мая над Японским морем преобладало поле высокого давления. В начале декады оно было представлено гребнем тихоокеанского антициклона, 14 числа над акваторией моря образовался самостоятельный антициклон с давлением в центре 1018 гПа. К середине декады

антициклон усилился до 1024 гПа, располагался на юго-востоке акватории. 17 мая над северной частью моря проследовало ядро с давлением в центре 1022 гПа.

Лишь 18 мая поле высокого давления перебивалось неглубоким циклоном, с давлением в центре 1008 гПа, который проследовал над севером акватории.

Ветер и волнение были слабыми до умеренного.

Охотское море

11 мая на северо-западную часть моря с Хабаровского края вышел циклон с давлением в центре 990 гПа. Превратившись в высокое малоподвижное барическое образование, он начал заполняться, исчез с карт погоды 13 числа. Скорость ветра в зоне циклона не превышала 9−14 м/с, волнение – не более 2 м.

13 мая следующий западный циклон с давлением в центре 1002 гПа без развития прошел над южной частью моря, не вызвал существенного усиления ветра и волн.

14 мая через крайнюю юго-западную часть акватории проследовал антициклон с давлением в центре 1018 гПа. В конце суток 14 мая на северо-западную часть моря с Хабаровского края переместился относительно глубокий циклон с давлением 994 гПа. Он двигался на северо-восток, со скоростью 30−40 км/ч, замедляя движение. 15 мая, находясь вблизи северо-западного побережья, углубился до 984 гПа. Ветер в зоне действия циклона усиливался до 15−18 м/с, волнение развивалось до 2−3 м. В дальнейшем циклон начал заполняться, медленно перемещался сначала на север, затем на восток. 17 числа окончательно заполнился над северо-восточной частью моря.

17 мая над южной частью акватории со скоростью 40 км/ч проследовало ядро с давлением в центре 1020−1022 гПа. 18 числа на центральную часть моря вышел западный циклон с давлением в центре 1006 гПа. Углубляясь, он двигался на восток со скоростью 30 км/ч, 19 мая переместился на Камчатку с давлением в центре 998 гПа. Циклон не вызвал существенного усиления ветра и волн.

В конце декады установилось поле высокого давления.

Берингово море

В течение второй декады над Беринговым морем наблюдалась циклоническая деятельность. 11 мая вдоль Алеутской гряды в восточном направлении перемещался циклон с давлением в центре 978 гПа. 12 числа он вышел на восточную часть акватории с давлением в центре 982 гПа, где 14 мая заполнился. Циклон вызвал усиление ветра до 15−18 м/с, волнение до 2−3 м.

В середине декады, 15−16 мая, вдоль Алеутской гряды перемещался следующий циклон с давлением в центре 982−978 гПа. Минимальное давление в центре циклона − 974 гПа – отмечалось 16 мая, когда циклон вышел на юго-восточную часть Берингова моря. 17 числа, оставаясь над юго-восточной частью моря, циклон перешел в стадию высокого малоподвижного образования, начал заполняться. На картах погоды прослеживался до 20 мая. Циклон вызвал усиление ветра до 15−20 м/с, волнение до 3−4 м.

20 мая к центральной части Алеутских островов вышел южный циклон с давлением в центре 974 гПа. На акватории Берингова моря он вызвал усиление ветра до 15−18 м/с, волнение до 2−3 м.

Северо-западная часть Тихого океана

Ядро с давлением в центре 1022 гПа, оно вышло на акваторию района в конце первой декады, усиливаясь, продолжало двигаться на восток со скоростью 30−40 км/ч. 13 числа по 38-й параллели перешло в западное полушарие с давлением в центре 1028 гПа.

13 мая на полярном фронте в районе с координатами 31° с. ш., 150° в. д. образовался циклон с давлением в центре 1006 гПа. Углубляясь, он начал перемещаться на северо-восток со скоростью 50 км/ч, 15 числа по 50-й параллели покинул восточное полушарие с давлением в центре 982 гПа. Скорость ветра в зоне циклона возрастала до 18−23 м/с, волнение развивалось до 6−7 м.

13 числа на акваторию района с Охотского моря через северные Курилы вышел циклон глубиной 1004 гПа. Попав в тыл впереди идущего развивающегося циклона, он не получил развития; через сутки заполнился.

14 мая с Японского моря переместилось ядро с давлением в центре 1020 гПа. Усиливаясь, оно двигалось на восток со скоростью 50 км/ч, 17 числа по 33-й параллели покинуло восточное полушарие с давлением в центре 1024 гПа. Максимальное давление в центре ядра − 1028 гПа, отмечалось 16 мая.

16 мая в районе с координатами 33° с. ш., 149° в. д. образовался волновой циклон с давлением 1016 гПа. Углубляясь, он двигался на северо-восток со скоростью 50 км/ч, 19 числа по 38-й параллели переместился в западное полушарие с давлением в центре 1010 гПа. Циклон не вызвал существенного усиления ветра и волн.

19 мая на арктическом фронте в районе с координатами 46° с. ш., 165° в. д. образовался циклон с давлением в центре 1000 гПа. Активно углубляясь, циклон начал перемещаться на северо-восток со скоростью 60−70 км/ч, 20 числа по 51-й параллели перешел в западное полушарие с давлением в центре давлением 974 гПа. Скорость ветра в зоне циклона достигала 18−23 м/с, волнение развивалось до 6−7 м.

18 числа на акваторию северо-западной части Тихого океана переместились два антициклона. Один из них вышел со стороны Японского моря, второй − с Охотского моря, оба с давлением в центре 1022 гПа. Антициклоны двигались на восток, юго-восток без существенного изменения интенсивности. Антициклон, который вышел с Охотского моря, двигался быстрее, со скоростью 50 км/ч, в конце суток 19 мая по 36-й параллели перешел в западное полушарие. Антициклон, который вышел с Японского моря, двигался медленно, в конце декады находился в районе с координатами 32° с. ш., 156° в. д. с давлением в центре 1020 гПа.

20 мая с южной части Охотского моря скатилось ещё одно ядро с давлением в центре 1020 гПа. Оно двигалось на юго-восток, восток со скоростью 50 км/ч, усиливалось. В конце суток находилось в районе с координатами 40° с. ш., 162° в. д. с давлением в центре 1022 гПа.

III декада мая 2026 г.

Японское море

В начале третьей декады по югу Японского моря проследовал циклон с давлением в центре 1002 гПа. Затем на акваторию моря распространилась область высокого давления, в зоне которой 25 числа над центральной частью моря образовалось ядро с давлением в центре 1016 гПа; вскоре оно вошло в систему тихоокеанского антициклона.

28 мая с северо-восточного Китая на акваторию Японского моря вышел циклон с давлением в центре 1000 гПа. Он двигался на северо-восток со скоростью 50 км/ч, углублялся, 29 числа переместился на юг Охотского моря с давлением в центре 982 гПа. В Японском море циклон вызвал усиление ветра до 12−17 м/с, волнение до 2−3 м.

В конце декады на акваторию моря распространилось поле высокого давления.

Охотское море

В начале декады над Охотским морем располагалось поле высокого давления, центр антициклона находился над югом акватории с давлением 1020 гПа. 23 числа, усилившись до 1024 гПа, антициклон отошел на восток, на акваторию Тихого океана.

25 мая на погодные условия Охотского моря начал оказывать влияние циклон, развивающийся над материком; 26 числа он вышел на северо-западную часть моря с давлением в центре 998 гПа. Ветры перешли к южным румбам, усилились до 9−14 м/с, волнение развивалось до 2 м. В дальнейшем, перейдя в стадию малоподвижной высокой депрессии, циклон начал заполняться. Прослеживался на картах погоды до 28 мая.

29 мая с Японского моря на юг акватории Охотского моря вышел циклон с давлением в центре 982 гПа. Он углублялся, двигался на северо-восток, север, замедляя движение. Минимальное давление в центре циклона отмечалось в срок 18 ВСВ 29 мая, составляло 972 гПа; циклон находился вблизи северо-восточного побережья Сахалина. Ветер в зоне циклона усиливался до 17−22 м/с, волнение развивалось до 5−6 м. 30 мая циклон перешел в стадию высокого барического образования, начал заполняться, 31 мая подошел к юго-западному побережью Камчатки с давлением в центре 996 гПа.

Берингово море

Южный циклон, который в конце второй декады вышел к центральной части Алеутских островов, 21 мая вышел на акваторию моря с давлением в центре 978 гПа. Он двигался на северо-восток со скоростью 30 км/ч, 22 числа был вблизи восточного побережья моря, заполнившись до 992 гПа. Скорость ветра в зоне циклона достигала 15−18 м/с, волнение развивалось до 2−3 м, вблизи восточных островов Алеутской гряды – до 4 м.

23 мая с Чукотки на западную часть акватории переместился циклон с давлением в центре 1010 гПа. Медленно двигаясь на юго-восток, циклон заполнялся. Прослеживался на картах погоды до 24 числа.

25 мая к юго-восточной части моря приблизился глубокий тихоокеанский циклон с давлением в центре 970 гПа, обуславливая ветер до 18−23 м/с, волнение до 4−5 м. 26 мая циклон вышел на юго-восток моря с давлением в центре 980 гПа. Двигался на северо-восток со скоростью 30 км/ч, 27 мая переместился на Аляску, заполнившись до 992 гПа.

Над западной частью акватории в середине декады наблюдалось поле повышенного давления в виде гребня тихоокеанского антициклона.

28 мая на западе моря образовался циклон с давлением в центре 1008 гПа. Без развития он двигался на восток, юго-восток, 30 числа через восточные Алеуты покинул акваторию моря. Значительного ухудшения погодных условий циклон не вызвал.

29 числа с Колымы на северо-запад акватории скатился антициклон с давлением в центре 1022 гПа. Усиливаясь, он медленно двигался на восток, в конце декады находился над севером акватории с давлением в центре 1026 гПа.

Северо-западная часть Тихого океана

Антициклон, который 20 мая скатился на акваторию района с южной части Охотского моря, продолжал перемещаться на восток, юго-восток со скоростью 40−50 км/ч. 22 мая по 40-й параллели покинул восточное полушарие, вскоре втянулся в систему тихоокеанского максимума.

21 мая восточнее о. Хоккайдо образовался циклон глубиной 1010 гПа. Незначительно углубляясь, он двигался на восток со скоростью 40 км/ч, 23 числа по 47-й параллели переместился в западное полушарие с давлением в центре 1000 гПа. Значительного усиления ветра и волн в зоне циклона не наблюдалось.

22 мая вблизи юго-восточного побережья о. Хонсю на полярном фронте образовался циклон с давлением в центре 1004 гПа. Смещаясь на восток, северо-восток со скоростью 40 км/ч, циклон углублялся, 25 мая по 49-й параллели перешел в западное полушарие с давлением в центре 970 гПа. Скорость ветра в зоне циклона достигала 25−28 м/с, волнение развивалось до 8−10 м.

23 мая с юга Охотского моря на акваторию района переместился антициклон с давлением в центре 1024 гПа. Превратившись в обширное барическое образование и усиливаясь, он двигался на восток, юго-восток со скоростью 20−30 км/ч, 27 мая по 40-й параллели покинул восточное полушарие с давлением в центре 1038 гПа (рис. 1-3).

Неглубокий циклон, который образовался 26 числа в районе с координатами 30° с. ш., 160° в. д., медленно двигался на северо-восток, север без развития – был блокирован тихоокеанским максимумом. Заполнился 28 мая в районе с координатами 37° с. ш., 164° в. д. (рис. 1-3).

31 мая в северо-западной части Тихого океана вблизи восточного побережья о. Хонсю образовалось ядро с давлением 1018 гПа. Медленно двигалось на восток, незначительно усиливаясь.

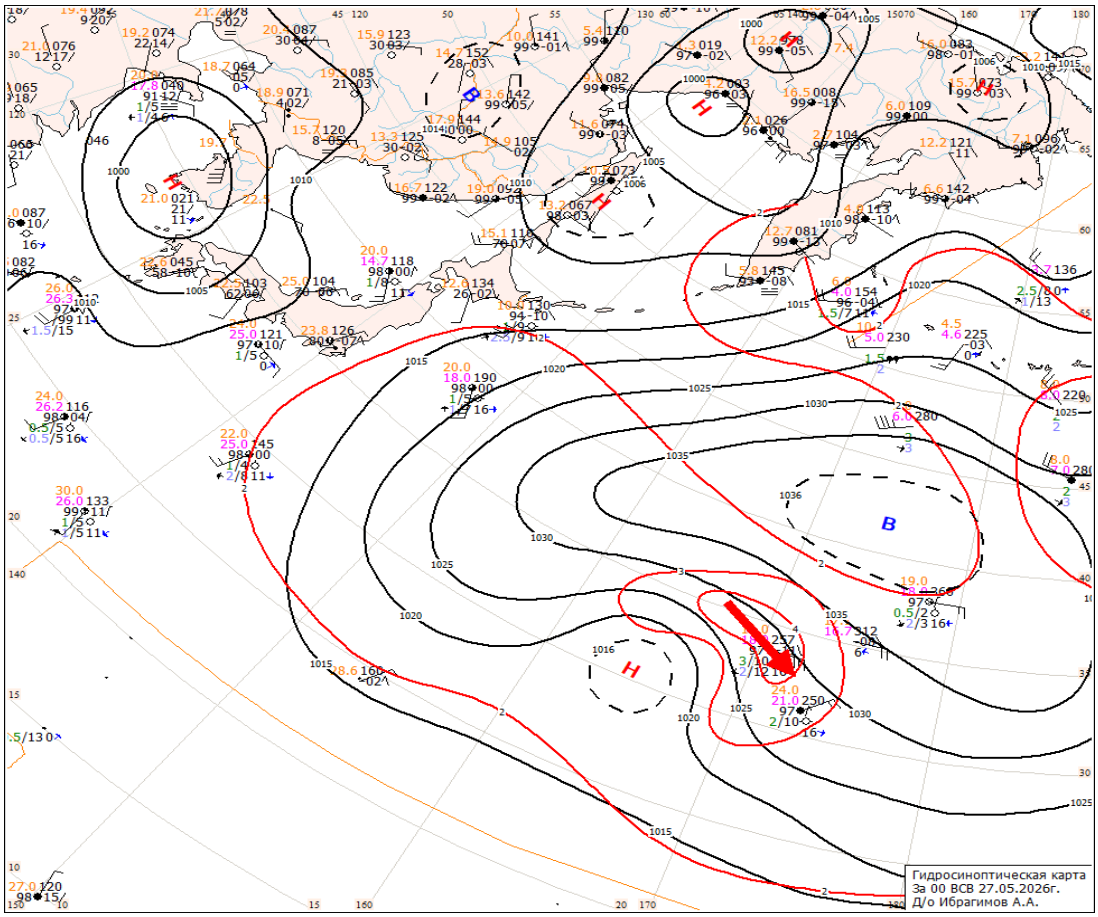


Рис. 1-3 Приземная карта за 00 ВСВ 27 мая 2026 г.

1.2 Анализ термобарических полей

Карты термобарических полей месячного разрешения над районом обзора построены на основе данных реанализа ERA5, приведены ниже на рис. 1-4−1-6. Для анализа использованы средние за месяц карты барической топографии для стандартного изобарического уровня 500 гПа (средняя тропосфера), давления на уровне моря и температуры воздуха на стандартном изобарическом уровне 850 гПа (нижний слой тропосферы). Аномалии рассчитаны относительно средних многолетних значений за период 1991−2020 гг.

С марта 2026 г. в рамках данного проекта анализ термобарических полей выполняется на основе реанализа ERA, созданного ECMWF (взамен реанализа NCEP/NCAR); аномалии вычисляются относительно многолетнего периода 1991−2020 гг. (на предыдущем этапе использовался период 1981−2010 гг.)

Региональный обзор

В мае над умеренными широтами региона преобладали зональные формы циркуляции, высотная фронтальная зона умеренных широт оставалась относительно напряженной. Этому способствовал повышенный запас тепла в умеренных и тропических широтах − геопотенциальные высоты поверхности H_{500} превышали норму на 2−6 дам. Над полярными районами наблюдалось чередование барических полей разного знака. Над восточной частью Берингова моря и морем Лаптевых, захватывая нижнее течение Лены, доминировали депрессионные поля. Над этими районами сформировались очаги с отрицательными аномалиями геопотенциальных высот H_{500} до -10 и -5 дам соответственно. Поля высокого давления тоже относительно устойчиво занимали позиции над Чукоткой и Аляской, определяя в зоне своего влияния уже преобладание положительных аномалий геопотенциальных высот H_{500} (рис. 1-4).

У земной поверхности над Центральной Азией в течение месяца ещё прослеживался азиатский антициклон, постепенно уступающий позиции циклонической деятельности, но развитый в пределах нормы. Полярные районы материка и умеренные широты в бассейне Амура находились под воздействием полей низкого атмосферного давления. В полярных районах циклоническая активность превышала норму, на что указывают отрицательные аномалии атмосферного давления до -2...-4 гПа. Алеутская депрессия, как и в апреле, была хорошо развита, её центр располагался над юго-восточной частью Берингова моря. Она глубже климатической нормы на 6−7 гПа. Поле низкого атмосферного давления наблюдалось и над Охотским морем, что не соответствует сезонному распределению давления (обычно в мае здесь начинают преобладать антициклонические процессы). Тихоокеанский антициклон оставался доминирующей барической системой над тихоокеанским бассейном. Его мощность превышала климатическую примерно на 4 гПа (рис. 1-5).

Японское море

В средней тропосфере над Японским морем сохранялся устойчивый западно-восточный перенос воздуха, со слабой северной составляющей. Преобладала относительно теплая воздушная масса − аномалии геопотенциальных высот поверхности H_{500} преимущественно положительные до +6 дам. Только северная часть Татарского пролива находилась в зоне холода, здесь аномалии геопотенциальных высот H_{500} отрицательные до -2…-4 дам.

У земной поверхности северная часть моря испытывала воздействие поля низкого атмосферного давления, южная – поля повышенного давления. В среднем за месяц фон атмосферного давления близок к климатическому.

Температура воздуха на уровне H_{850} (нижняя тропосфера) над морем распределена от +12 °С на юге до +2 °С на севере. Для большей части акватории это состояние превышает норму на 1−3 °С. За месяц температура воздуха повысилась на 4−8 °С.

Охотское море

В средней тропосфере в среднем за месяц высотное барическое поле над Охотским морем имело профиль ложбины. Геопотенциальные высоты поверхности H_{500} ниже нормы на 1−6 дам. Над южной частью акватории преобладал западно-восточный перенос воздуха, сформировались положительные аномалии геопотенциальных высот до +2…+3 дам (воздушная масса незначительно теплее климатической нормы).

У земной поверхности над морем установилось низкое атмосферное давление. Его фон ниже климатической нормы на 2−6 гПа.

В нижнем слое тропосферы (на уровне поверхности H_{850}) температура воздуха над морем была распределена от +4…+6 °С на юго-западе до -2 °С на северо-востоке. Такое распределение близко к норме. За месяц температура воздуха над морем повысились на 6−9 °С.

Берингово море

В средней тропосфере над Беринговым морем устойчиво располагалась депрессия, её центр находился над восточной частью акватории. Воздушная масса была холодной − аномалии геопотенциальных высот поверхности H_{500} отрицательные от -2 дам вблизи побережья Чукотки до -10 дам вблизи побережья Аляски.

У поверхности земли над морем также доминировало депрессионное поле. Фон атмосферного давления был ниже нормы на 2−7 гПа. Наибольшие отклонения от нормы фиксировались над юго-восточной частью моря, где установился центр депрессии.

Температура воздуха в нижнем слое тропосферы на уровне H_{850} над всей акваторией Берингова моря находилась в пределах -4…-5 °С, отклонения от нормы были незначительными. Над большей частью моря за месяц температура повысилась на 3−6 °С, на юго-востоке почти не изменилась.

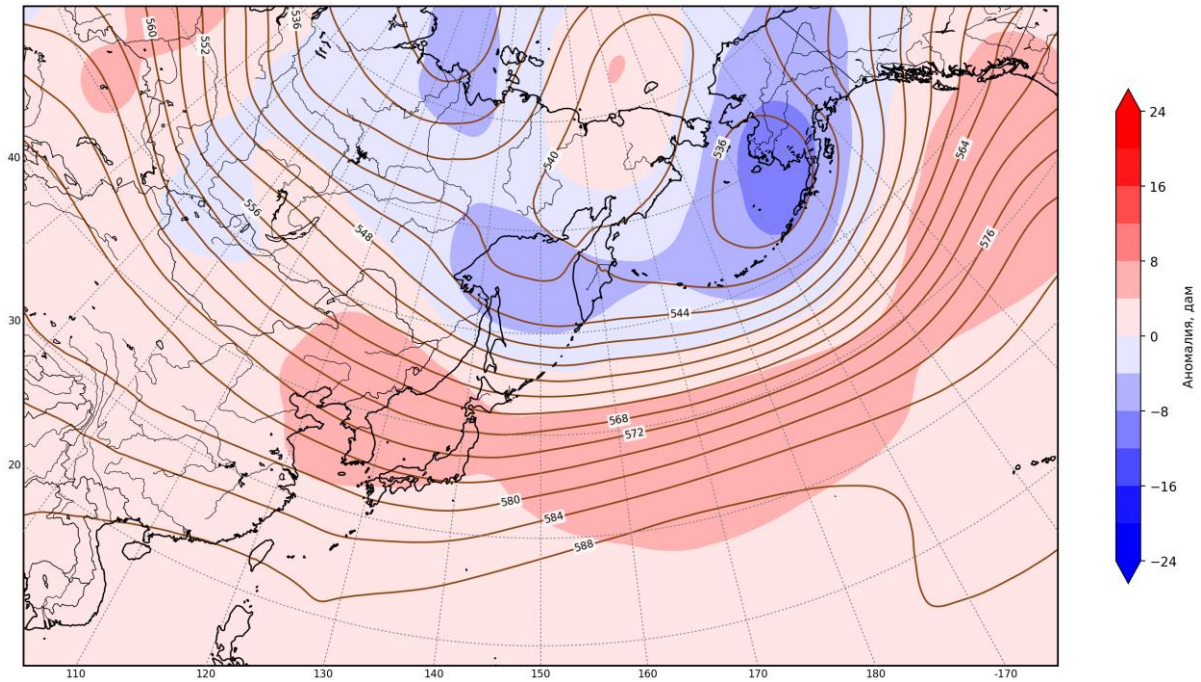


Рис. 1-4 Среднее поле H_{500} (изогипсы) и его аномалии (изополосы) в мае 2026 г. (дам)

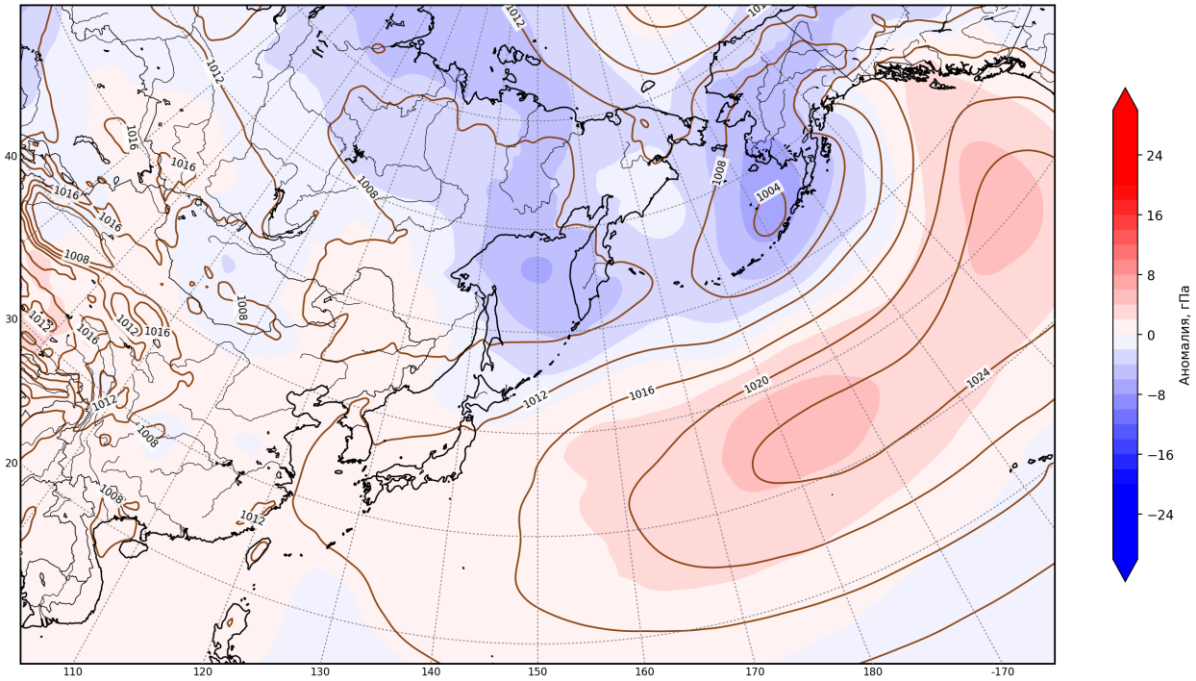


Рис. 1-5 Среднее поле атмосферного давления у поверхности земли (изобары) и его аномалии (изополосы) в мае 2026 г. (гПа)

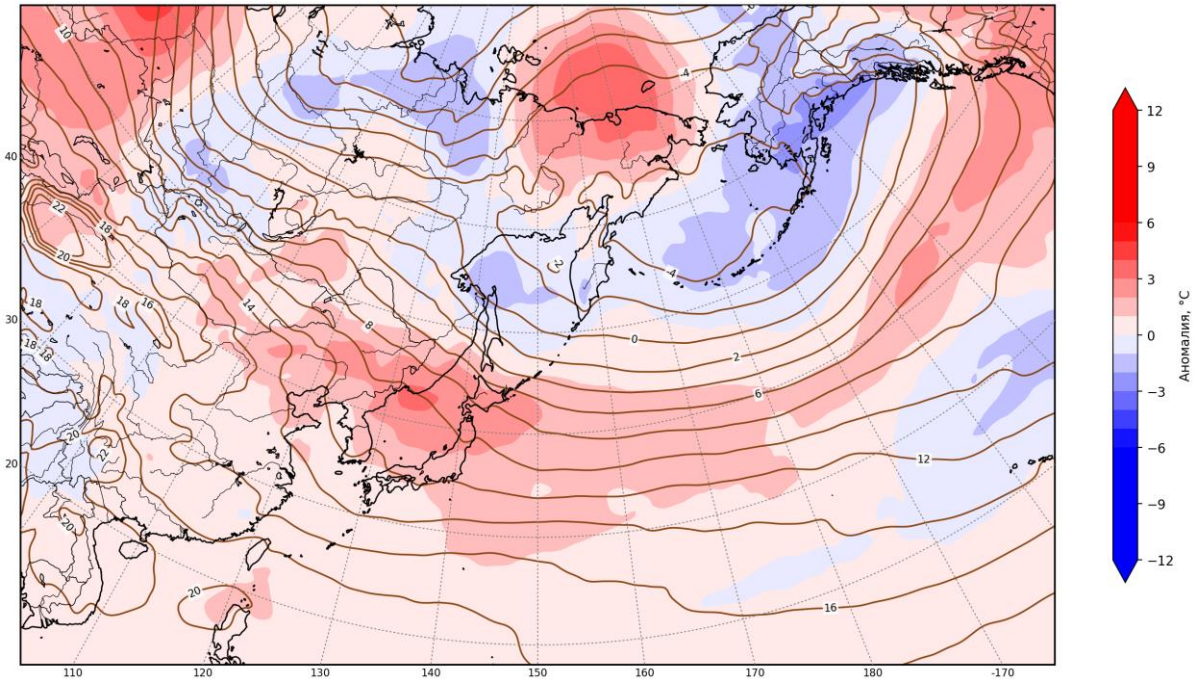


Рис. 1-6 Среднее поле T_{850} (изотермы) и его аномалии (изополосы) в мае 2026 г. (°C)

1.3 Региональные индексы циркуляции атмосферы

1.3.1 Зональный и меридиональный перенос воздуха над II е. с. р.

Характеристика основных воздушных течений в средней и нижней тропосфере за май 2026 г. выполнена на основе индексов атмосферной циркуляции, приведенных ниже в таблице и на рис. 1-7−1-9. В данном разделе для характеристики индексов принята следующая терминология: норма – ±0,3STD относительно нормы; незначительное отклонение от нормы – ±(0,4–0,7)STD; значительное отклонение от нормы – ≥2,0STD. Аномалии рассчитаны относительно средних многолетних значений (нормы) за период 1991−2020 гг.

С марта 2026 г. индексы рассчитываются на основе реанализа ERA, созданного ECMWF (взамен реанализа NCEP/NCAR), и нормы 1991—2020 гг.

Японское море

В мае во всем слое тропосферы над Японским морем сохранялось преобладание движений воздуха с запада на восток (значения зональных индексов положительные). Их интенсивность была близка к климатической как в средней тропосфере, так и у поверхности земли (Kz соответственно равен 0,2STD и 0,1STD).

Интенсивность межширотного обмена в средней тропосфере над Японским морем была близка к норме (|Km| равен -0,1STD); многолетний баланс между меридиональными составляющими незначительно нарушен в пользу северной компоненты обмена (Km равен -0,5STD). В средней тропосфере движения воздуха с севера оставались преобладающими (значение меридионального индекса отрицательное). У поверхности земли интенсивность межширотного обмена была слабой (|Km| равен -0,7STD); многолетний баланс между меридиональными составляющими нарушен в пользу северной компоненты обмена (Km равен -1,3STD). При этом сохранилось незначительное преобладание движений воздуха с юга (значение индекса положительное).

Охотское море

Во всем слое тропосферы над Охотским морем преобладал перенос воздуха с запада на восток (значения зональных индексов положительные), его интенсивность превышала среднюю многолетнюю (Kz равен 1,2STD и 1,6STD соответственно в средней тропосфере и у поверхности земли).

Интенсивность межширотного обмена в средней тропосфере над Охотским морем была слабой (|Km| равен -0,9STD); многолетний баланс между меридиональными составляющими остался близким к норме (Km равен 0,0STD); движения воздуха с севера преобладали (значение меридионального индекса отрицательное). У поверхности земли интенсивность межширотного обмена была слабой (|Km| равен -0,9STD); многолетний баланс между меридиональными составляющими незначительно нарушен в пользу северной компоненты обмена (Km равен -0,4STD), при этом сформировалось слабое преобладание движений воздуха с юга (значение индекса положительное).

Берингово море

Над Беринговым морем во всем слое тропосферы сохранялся западно-восточный перенос воздуха (значения зональных индексов положительные). Его интенсивность близка к климатической (Kz равен 0,1STD и 0,0STD соответственно в средней тропосфере и у поверхности земли).

Интенсивность меридиональных движений воздуха и многолетний баланс между меридиональными составляющими во всем слое тропосферы над Беринговым морем были близки к климатической норме (в средней тропосфере |Km| и Km равны -0,2STD; в нижнем слое |Km| и Km равны 0,2STD). Во всем слое установилось слабое преобладание движений воздуха с севера (значения меридиональных индексов отрицательные).

Индексы циркуляции атмосферы и их аномалии по II е. с. р.

Индекс*	Уровень (высота)	Март			Апрель			Май		
		значение	ASTD**	STD**	значение	ASTD**	STD**	значение	ASTD**	STD**
Kz Ям	500 гПа	17369	-1.3	4505	23869	0.9	4113	16464	0.2	3767
Kz Ом		873	-1.5	3273	10871	0.7	3547	10823	1.2	2753
Kz Бм		6488	0.4	4983	10645	0.6	5129	5740	0.1	3221
Kz 35_50		13272	-2.5	3777	22245	0.4	3150	20366	1.1	2398
Kz 50_70		8431	1.6	2521	5054	-0.6	2181	5732	0.0	1597
Kz 35_70		10535	-1.0	1791	12407	-0.2	1168	11994	1.3	818
Km Ям		-3155	0.5	1808	-794	0.3	2016	-1915	-0.5	1610
Km Ом		5326	3.6	1465	-957	-0.6	1696	-846	0.0	1926
Km Бм		-3731	-4.1	1419	3203	2.2	1317	-667	-0.2	1436
Km 35_50		-489	0.2	878	-441	0.4	706	-761	0.3	459
Km 50_70		692	1.9	536	71	0.9	528	-799	-1.1	377
Km 35_70		189	1.2	568	-146	0.8	467	-777	-0.6	270
|Km| Ям		4311	-0.6	2329	1770	-0.7	1754	2670	-0.1	1324
|Km| Ом		8987	4.9	1262	2346	-0.4	1351	1908	-0.9	1570
|Km| Бм		8492	2.0	2031	5525	1.5	1595	3251	-0.2	1639
|Km| 35_50		4525	-0.9	1104	4261	0.3	668	2128	-2.1	655
|Km| 50_70		7323	2.5	1213	3481	0.1	797	2682	-0.7	718
|Km| 35_70		6125	1.6	815	3804	0.2	578	2440	-1.6	559
Kz Ям	1000 гПа	864	-1.4	1160	4242	-0.1	1269	4187	0.1	1288
Kz Ом		-4307	-1.9	1551	-201	0.0	1502	2095	1.6	1032
Kz Бм		-2430	0.3	3061	982	0.3	2613	221	0.0	1585
Kz 35_50		-2322	-4.0	1387	4350	0.4	1290	5206	1.3	1234
Kz 50_70		493	1.9	1492	-2340	-0.6	1317	-443	0.7	869
Kz 35_70		-703	-1.0	820	524	-0.4	706	1982	2.0	541
Km Ям		-1617	1.0	750	106	-0.2	875	386	-1.3	593
Km Ом		841	2.6	1362	-1054	-0.8	1032	486	-0.4	801
Km Бм		-1185	-0.6	1139	1317	1.9	945	-125	0.2	724
Km 35_50		4	0.9	560	545	0.5	417	573	0.1	239
Km 50_70		432	3.5	393	-174	0.7	336	-337	-0.8	229
Km 35_70		251	2.8	356	135	0.7	324	56	-0.6	178
|Km| Ям		2594	-1.1	875	1810	-0.7	631	2390	-0.7	566
|Km| Ом		2793	-1.1	1908	2599	0.3	775	1797	-0.9	695
|Km| Бм		4780	1.2	1102	4749	1.9	1039	2607	0.2	986
|Km| 35_50		2976	-1.1	569	2934	0.0	267	3402	-0.3	274
|Km| 50_70		3749	-0.6	702	3183	0.5	474	2711	-0.4	395
|Km| 35_70		3419	-0.9	564	3075	0.4	326	3014	-0.4	288

* Описание индексов приведено в разделе «Терминология».

** Климатические характеристики (STD, ASTD) рассчитаны относительно норм 1981–2010 гг.

Умеренные широты между 35° и 50° с. ш. над II е. с. р.

В зоне умеренных широт между 35° и 50° с. ш. над II е. с. р. западно-восточный перенос во всем слое тропосферы был преобладающим (зональные индексы положительные). Его интенсивность превышала норму (Kz равен 1,1STD и 1,3STD соответственно в средней тропосфере и у поверхности земли).

Межширотный обмен в средней тропосфере в указанной широтной зоне был слабым, многолетний баланс между меридиональными составляющими остался близким к норме (|Km| равен -2,1STD, Km − 0,3STD); преобладали движения воздуха с севера (значение меридионального индекса отрицательное). У поверхности земли межширотный обмен и многолетний баланс между меридиональными составляющими были близки к климатическим (|Km| равен -0,3STD, Km − 0,1STD); в среднем за месяц преобладали движения воздуха с юга (значение индекса положительное).

Широтная зона 50–70° с. ш. над II е. с. р.

В средней тропосфере над широтной зоной 50–70° с. ш. II е. с. р. в течение месяца западно-восточный перенос воздуха оставался доминирующим течением (значение зонального индекса положительное); его интенсивность близка к норме (Kz равен 0,0STD). В нижнем слое тропосферы преобладал перенос воздуха с востока на запад (значение индекса отрицательное), его интенсивность была слабой (Kz равен 0,7STD).

Интенсивность межширотного обмена во всем слое тропосферы над указанной широтной зоной была незначительно слабее нормы (|Km| равен -0,7STD и -0,4STD соответственно в средней тропосфере и у поверхности земли). Многолетний баланс между меридиональными составляющими нарушен в пользу северной компоненты обмена (Km − -1,1STD и -0,8STD соответственно). В среднем за месяц во всем слое преобладал перенос воздуха с севера (значения меридиональных индексов отрицательные).

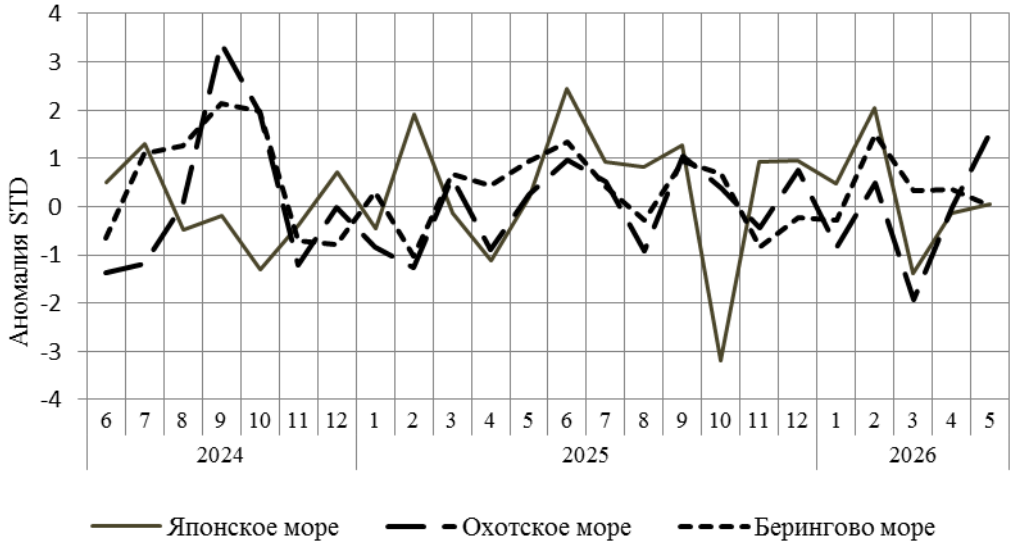


Рис. 1-7 Годовой ход стандартизованных аномалий индекса интегрального зонального переноса воздуха с учетом знака (Kz) в нижней тропосфере над дальневосточными морями

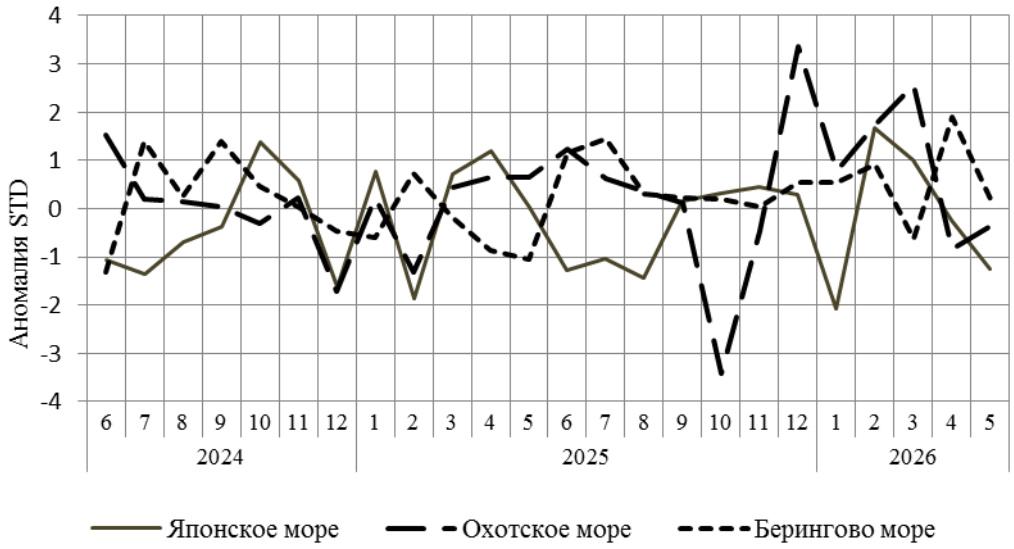


Рис. 1-8 Годовой ход стандартизованных аномалий индекса интегрального меридионального переноса воздуха с учетом знака (Km) в нижней тропосфере над дальневосточными морями

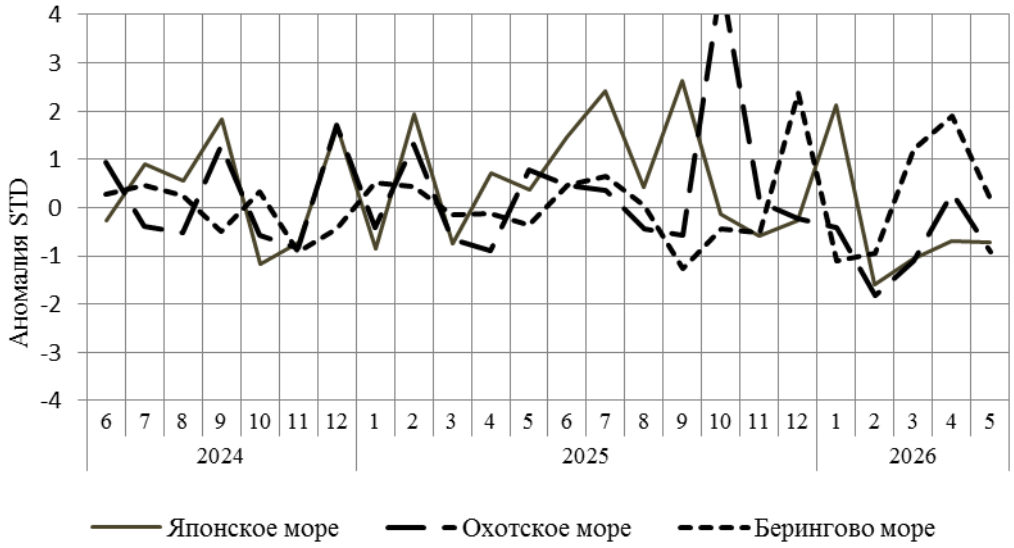


Рис. 1-9 Годовой ход стандартизованных аномалий индекса интегрального меридионального переноса воздуха без учета знака (|Km|) в нижней тропосфере над дальневосточными морями

1.3.2 Индекс засушливости Педя S для станций Приморского и Хабаровского краёв[1]

Приморский край	Март	Апрель	Май
Анучино	2.0	-0.1	3.4
Астраханка	1.0	-1.6	4.6
Богополь	1.9	0.3	3.0
Владивосток	2.1	1.7	3.6
Дальнереченск	0.5	-2.7	2.5
Пограничный	1.5	-0.9	3.8
Посьет	2.2	2.6	3.2
Преображение	1.9	1.7	1.0
Рощино	3.0	-1.0	2.5
Рудная Пристань	2.0	1.2	2.2
Сосуново	2.6	0.2	1.0
Терней	1.8	0.7	2.3
Тимирязевский	1.2	-0.9	4.4
Турий Рог		-0.5	2.6
Хабаровский край	**Март**	**Апрель**	**Май**
Аян	-3.4	0.2	2.7
Гвасюги	2.1	-1.3	1.5
Екатерино-Никольское	1.6	-0.8	2.9
Им. Полины Осипенко	1.9	-0.9	3.2
Комсомольск-на-Амуре	1.1	0.2	1.1
Нелькан	-2.1	1.5	-0.2
Николаевск-на-Амуре	1.8	0.1	0.2
Охотск	-0.9	1.3	1.7
Сковородино	-1.0	-2.4	-0.6
Софийский Прииск	0.0	0.7	1.6
Сутур	0.0	0.7	1.8
Тумнин	3.4	0.4	0.4
Урми	0.5	1.6	2.5
Усть-Нюкжа	1.1	0.1	0.0
Хабаровск_	2.6	-0.4	2.1
Хуларин	0.3	0.2	2.3
Чекунда	-1.4	0.6	1.6
Чумикан	1.2	1.2	3.0

Положительные значения индекса соответствуют засушливым условиям, отрицательные – условиям достаточного (избыточного) увлажнения при пониженном фоне температур. Для месячных значений S принято считать, что

- если 1<S<2, то засуха слабая, если -1>S>-2, то увлажнение слабое;

- если 2<S<3, то засуха умеренная, если -2>S>-3, то увлажнение умеренное;

- если S>3, то засуха сильная, если S<-3, то увлажнение сильное.

[1] См. раздел «Терминология бюллетеня».